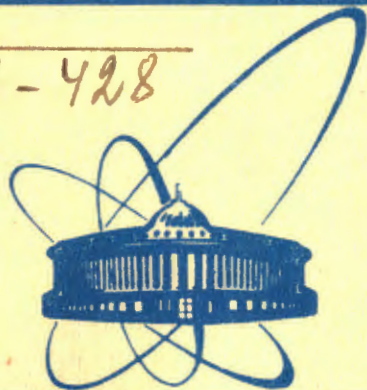


H-428



сообщения
объединенного
института
ядерных
исследований
Дубна

3585/2-81

20/11-81

18-81-189

И.П.Недялков

ОБ ОДНОЙ ВОЗМОЖНОСТИ ОПРЕДЕЛЕНИЯ
ЗАКОНА РАСПРЕДЕЛЕНИЯ ПЛОТНОСТИ ЗЕМЛИ
ПРИ ПОМОЩИ НЕЙТРИННЫХ ЭКСПЕРИМЕНТОВ

1981

§1. ВВЕДЕНИЕ

Хорошо известна огромная проникающая способность нейтрино. По сути дела она используется в эксперименте Дейвиса^{/1,2/} для измерения температуры в центральных областях Солнца при помощи нейтрино, которые рождаются в ядерных реакциях, протекающих в солнечной плазме. Благодаря ничтожно малому сечению при соударении с частицами солнечной материи, эти нейтрино проходят через все Солнце, т.е. расстояние в 10^{11} см, и регистрируются земными приборами. Предложен и ряд других впечатляющих нейтринных экспериментов, включающих такие, при которых нейтрино проходит через всю Землю^{/2/}. Однако, насколько известно автору, за исключением нескольких работ последнего времени^{/3-6/}, нигде не обсуждалась возможность экспериментального определения функции распределения плотности Земли на основе информации об ослаблении мощных нейтринных пучков, проходящих через всю Землю, и последующей обработки этой информации при помощи методов компьютерной томографии.

Объясним более подробно, о чем идет речь. Пусть область g /в данном случае круг/, ограниченная контуром ϑ /в данном случае окружность/, является сечением некоторой плоскости Π с земным шаром. Пусть $P' \in \vartheta$ и $P'' \in \vartheta$ - какие-нибудь точки. Пропустим через P' и P'' нейтринный пучок. Обозначим через N'_ν соотв. N''_ν его интенсивность в P' , соотв. P'' . Если N'_ν и N''_ν известны из измерений, то тем самым определена и средняя плотность вдоль пучка $\bar{D}(P', P'') = \frac{1}{\ell} \int_0^\ell D(\zeta) d\zeta$, $\ell = P'P''$, ζ - координата вдоль пучка/, которая, как известно из физики, пропорциональна $\ln(N'_\nu N''_\nu^{-1})$. Измеренная величина $\bar{D}(P', P'')$ является некоторым усреднением функции $D(x, y)$ распределения плотности в области $g+\vartheta$, где x и y - декартовы координаты точки $P \in g+\vartheta$. Очевидно, что зная некоторое усредненное значение $\bar{D}(P', P'')$ некоторой функции $D(x, y)$, ничего нельзя сказать об этой функции. Однако, если нам известны $\bar{D}(P', P'')$ для некоторого множества бесчисленных пар точек $P' \in \vartheta$ и $P'' \in \vartheta$, то тогда компьютерная томография^{/7,8/} может восстановить значение $D(x, y)$ во всей области $g+\vartheta$. В данном случае речь идет не только об одной теоретической возможности, но и об одном новом методе, который реализован и применяется как при рентгеновской, так и при ультразвуковой диагностике^{/8/}. В^{/3-6/} сделано частично

обоснованное предложение об использовании той же методики для определения распределения $D(x, y)$ плотности Земли в сечении $g+s$, если известны усредненные значения $\bar{D}(P'_j, P''_j)$ для некоторого числа пар точек $P'_j, P''_j, j=1, 2, \dots$.

В настоящей работе мы рассмотрим заново этот вопрос. Будут исследованы в отдельности системы с π и k -мезонными нейтринными пучками, которые генерируются в ускорительных установках для протонных пучков с энергиями 0,4; 1; 3 и 20 ТэВ.

Исследования проводятся при помощи грубой математической модели /§2/. Подсчеты, сделанные на основе этой модели, показывают, что средствами современной техники генерирования и детектирования нейтринных пучков успешное проведение эксперимента в принципе представляется весьма вероятным /§3/, хотя и связано с большими трудностями. В §4 сформулировано несколько новых задач из области компьютерной томографии, успешное решение которых уменьшило бы затраты на проведение эксперимента и увеличило ценность полученных результатов. Суммируя соображения за и против предлагаемого эксперимента, в заключении /§5/ автор высказывает мысль о целесообразности его изучения параллельно с обсуждением и проектированием нового поколения ускорителей с тэвными и мультитэвными энергиями, а также с обсуждением программы DUMAND /2,10/.

§2. МАТЕМАТИЧЕСКАЯ МОДЕЛЬ ИЗМЕРИТЕЛЬНОЙ УСТАНОВКИ

Как было сказано во введении, измерительная установка состоит из источника нейтринного пучка в точке P' с интенсивностью $N'_\nu \nu \cdot c^{-1}$ и детектора нейтрино в точке P'' . Будем предполагать, что пучок генерируется в ускорительной установке моноэнергетическим протонным пучком с интенсивностью N_p и энергией E_p , из которого рождается π -мезонный пучок с интенсивностью N_π и энергией E_π . В туннеле распада из последнего образуется интересующий нас нейтринный пучок /9/. При прохождении через земной шар расстояния $l = P'P''$, этот пучок регистрируется детектором в точке P'' . Обозначим через N_{reg}^ν число нейтрино, зарегистрированных в P'' за 1 с. Предположим, что область рождения нейтрино можно рассматривать как точку $O \equiv P'$, что эта точка является началом локальной декартовой системы координат $O\xi\eta\zeta$, что ось $O\xi$ проходит через точку P'' и что она совпадает с осью нейтринного пучка. Кроме того, π -мезонный пучок будем рассматривать как моноэнергетический. При этих предположениях N_{reg}^ν можно определить при помощи формулы

$$N_{reg}^\nu = \int_0^l A(\theta) \cdot B(\theta) 2\pi\theta d\theta, \quad /1/$$

где $\theta = \angle MP'P''$, причем M - произвольная точка в детекторе.

В /1/ $A(\theta)$ дает плотность ослабленного пучка после прохождения им отрезка l через Землю, а $B(\theta)$ выражает долю нейтринного потока, которая регистрируется детектором. Значения $A(\theta)$, $B(\theta)$ и интеграла /1/ приведены в /5/. Здесь мы воспользуемся грубой математической моделью, в которой $A(\theta)$ и $B(\theta)$ заменены их усредненными в интервале $0 \leq \theta \leq \psi$ значениями \bar{A} , соотв. \bar{B} , где $\psi = \frac{m_\pi}{E_\pi} / m_\pi$ - масса π -мезона / - угол конуса, на котором энергия нейтрино уменьшается в два раза. Внутри этого конуса проходит половина нейтринного потока. При сделанных предположениях вместо /1/ имеем

$$N_{reg}^\nu = \bar{A} \bar{B}_\alpha, \quad /2/$$

где

$$\bar{A} = N'_\nu \exp[-0,50 \cdot 10^{-11} D_0 l E_\pi E_0^{-1} \kappa \beta I],$$

$$\bar{B} = 0,50 \cdot 10^{-11} D_{det} H_{det} E_\pi E_0^{-1} \kappa \beta.$$

В этих формулах D_0 - средняя плотность Земного шара, $\kappa = 1 - m_\mu^2 m_\pi^{-2}$, где m_μ - масса μ -мезона, $E_0 = 1$ ТэВ, D_{det} - плотность чувствительного вещества детектора, H_{det} - высота детектора и $I = \int_0^l \frac{D(\xi)}{D_0} d(\frac{\xi}{l})$ - среднее значение безразмерного интеграла плотности вдоль отрезка $P'P''$. Коэффициент $0,50 \cdot 10^{-11}$ получен из умножения числа Авогадро $0,606 \cdot 10^{24}$ на коэффициент $0,83 \cdot 10^{-35}$ в формуле /10/

$$\sigma_\nu = 0,83 \cdot 10^{-35} E_\nu E_0^{-1} \quad /3/$$

для сечения σ_ν реакции $\nu_\mu + N \rightarrow \mu^- + \text{адроны}$, порождаемой нейтрино с энергией E_ν .

В /2/ фигурируют еще величины α и β , которые определяются так: $\alpha = \theta^2 \psi^{-2}$, $\beta = 1$, если $\psi > \theta$ и $\alpha = 0,5$, $\beta = \ln 2$, если $\psi < \theta$, где $\theta = R_{det} \cdot l^{-1}$, причем R_{det} - радиус детектора, форма которого по предположению - круглый цилиндр.

Очевидно, что нужная для компьютерной томографии величина $\bar{D}(P', P'')$ вычисляется через I , а для нахождения самого I необходимо измерить N_{reg}^ν и N'_ν .

Экспонента в выражении для \bar{A} - малая величина, а $I \approx 1$. Поэтому можно представить /2/ в виде

$$N_{reg}^\nu = a(1 - bI), \quad /4/$$

где

$$a = 0,50 \cdot 10^{-11} D_{det} H_{det} E_\pi E_0^{-1} \kappa \alpha \beta N'_\nu,$$

$$b = 0,50 \cdot 10^{-11} D_0 l E_\pi E_0^{-1} \kappa \beta.$$

В /2/ фигурирует величина $E_\nu^* = E_\nu \kappa$, как в экспоненте, так и в виде множителя перед экспонентой, т.е. /2/ можно записать и в виде $N_{reg}^\nu = k_0 E_\nu^* \exp[-k_1 E_\nu^*]$. Из этой записи видно, что при всех прочих одинаковых условиях N_{reg}^ν достигает максимума, если $E_\nu^* = E_\nu^{opt} = k_1^{-1}$. Отсюда получаем

$$E_\nu^{opt} E^{-1} = (0,50 \cdot 10^{-11} D_0 \beta I)^{-1} \quad /5/$$

При очень больших энергиях сечение σ_ν перестает расти линейно с E_ν . Тогда вместо формулы /3/ можно использовать приближенную формулу /10/

$$\sigma_\nu \approx \left(\frac{E_0}{E_1} + \frac{E_0}{E_\nu} \right)^{-1} \cdot 10^{-35} \quad /6/$$

где $E_0 = 1$ ТэВ и $E_1 = 12$ ТэВ. В этом случае E_ν^{opt} вычисляется выражением

$$E_\nu^{opt} E_0^{-1} = \left(1,5 \cdot 10^{-12} \frac{M}{R^2} - \frac{1}{12} \right)^{-1} \quad /7/$$

которое получено тем же способом, что и /5/. В /7/ M и R означают соответственно массу и радиус небесного тела.

Данные о множественности и энергии вторичных π -мезонов, генерированных на мишени протонным пучком, грубо оценим при помощи формул, которые часто используются в физике космических лучей. Для средней множественности вторичных π -мезонов будем использовать формулу $\langle n_\pi \rangle = 0,85 \langle n \rangle$ /см. рис.2 работы /15/, где $\langle n \rangle = 11,2 (E_p E_0^{-1})^{1/4}$ - средняя множественность заряженных частиц для pp-соударений /см. рис.1 работы /12/. Для среднего коэффициента неупругости вторичных π -мезонов примем значение $K_{inel}^\pi = 0,45$. /В /13/ предложено значение $\bar{K}_{inel}^\pi = 0,42/$. Соответствующие величины для вторичных K-мезонов будем оценивать по формулам $\langle n_K \rangle \approx 0,07 \langle n \rangle$ и $\bar{K}_{inel}^K \approx 0,05$.

§3. АНАЛИЗ ПАРАМЕТРОВ ИЗМЕРИТЕЛЬНОЙ УСТАНОВКИ

Начнем с определения значения E_ν^{opt} нейтринного пучка, при котором описанная измерительная установка в применении к Земле имела бы наибольшую чувствительность. E_ν^{opt} можно грубо оценить при помощи /5/, но мы будем пользоваться формулой /7/, которая дает более точные результаты. Для сравнения с теми же формулами, оценим E_ν^{opt} и для некоторых других небесных тел. Результаты расчетов приведены в табл.1.

Результаты этих расчетов имели бы некоторую ценность в применении к нейтронной звезде, белому карлику и даже к Солнцу, если найдутся совершенно новые, достаточно компактные устрой-

Таблица 1

Энергии E_ν^{opt} для некоторых небесных тел, при которых описанная измерительная установка имела бы максимальную чувствительность

Небесное тело	По какой формуле сделан расчет
Нейтронная звезда ($m \approx m_\odot$; $R = 10^5 R_\odot$); $E_\nu^{opt} = 150$ эВ. Расчет сделан по /5/.	
Белый карлик ($m \approx m_\odot$; $R = 10^{-2} R_\odot$); $E_\nu^{opt} = 150$ эВ. Расчет сделан по /5/.	
Солнце $E_\nu^{opt} = 1,5$ ТэВ согласно /5/; $E_\nu^{opt} = 1,7$ ТэВ - согласно /7/.	
Земля $E_\nu^{opt} = 41$ ТэВ согласно /5/*; E_ν^{opt} не существует, если расчет сделан по /7/.	

* Результат верен, если $m_\omega \gg 70$ ГэВ.

ства для генерации и детектирования нейтринных пучков. Тогда можно было бы думать об изучении состава Солнца посредством современной космической техники. В более отдаленном будущем были бы мыслимы и эксперименты с белыми карликами и даже с нейтронными звездами. Такая возможность существует потому, что некоторые из этих объектов в астрофизическом плане являются нашими соседями и в принципе доступны нам в случае реализации программ, подобных программе DAEDALUS /14/. Опять нужно оговориться, что все сказанное для неземных объектов имело бы смысл, если бы были открыты новые принципы генерации и детекции нейтринных пучков.

Теперь обсудим условие выполнимости эксперимента для Земли, для которой $E_\nu^{opt} = 41$ ТэВ, если $m_\omega \gg 70$ ГэВ.

Для Земли $E_\nu^{opt} = 41$ ТэВ, тогда как в нашем исследовании максимальная энергия нейтринного пучка не будет превышать 4 ТэВ. Имея в виду, что при энергиях $E_\nu < 12$ ТэВ в оценочных вычислениях можно использовать формулу /3/ линейного роста сечения σ_ν с энергией $E_\nu^{/10/}$, дальнейшие расчеты будем делать при помощи формулы /4/, которая выводится при предположении, что имеет место /3/.

Из $E_\nu^{opt} \approx 41$ ТэВ следует, что нейтринные пучки обсуждаемых в настоящее время ускорителей с энергиями $E_p = 1$ ТэВ, $E_p = 3$ ТэВ и $E_p = 20$ ТэВ, не так уж далеки от оптимальных. Поэтому, если

предлагаемая методика применима вообще, то это должно быть доказано на основе параметров обсуждаемых в настоящее время ускорителей тэвных и мультитэвных энергий. Для сравнения целесообразно иметь в виду и один действующий большой ускоритель - черновский SPS.

Итак, мы будем изучать возможности применения обсуждаемой методики на основе параметров следующих ускорителей:

- а/ SPS - ЦЕРН, $E_p = 400$ ГэВ, $N_p = 2 \cdot 10^{13}$ прот./импульс
- б/ Теватрон, $E_p = 1$ ТэВ, $N_p \approx 5 \cdot 10^{13}$ прот./импульс /15/
- в/ УНК - Серпухов, $E_p = 3$ ТэВ, $N = 6 \cdot 10^{14}$ прот./импульс /15/
- г/ 20-тэвный ускоритель; $E_p = 20$ ТэВ, $N_p = 10^{15}$ прот./импульс /16/.

Чтобы облегчить сравнение, предположим, что во всех ускорителях интенсивность одинакова $N_p = 10^{12}$ прот.с⁻¹.

Целесообразно рассмотреть два предельных случая:

- А/ широкие нейтринные пучки со сравнительно небольшим E_ν и большим N'_ν ;
- Б/ узкие пучки, в которых E_ν имеет большие значения, но зато N'_ν - меньшие значения.

А/ Широкие пучки

В табл.2 приведены значения параметров $\langle E_\pi \rangle$, N'_ν , а и б для π -мезонного пучка, полученного из вторичных π -мезонов, которые рождаются при соударении протонного пучка и мишени. Наличие магнитного рога не предполагается. Расчет сделан для $R_{det} = 0,5$ км, $H_{det} = 1$ км, $D_{det} = 1$ г.см⁻³, $l = 2R$.

Таблица 2

Параметры $\langle E \rangle$ и N'_ν нейтринного пучка, генерированного источником нейтрино при помощи распада π -мезонов; параметры детекции пучка а и б

Ускоритель Параметры	Ускоритель			
	SPS $E_p = 0,4$ ТэВ	Теватрон $E_p = 1$ ТэВ	УНК $E_p = 3$ ТэВ	20-тэвный $E_p = 20$ ТэВ
$\langle E_\pi \rangle$ ГэВ	23,4	47,5	109	455
N'_ν [$\nu \cdot c^{-1}$]	$4,33 \cdot 10^{12}$	$2,65 \cdot 10^{12}$	$1,49 \cdot 10^{12}$	$1,18 \cdot 10^{12}$
a_π [$\nu \cdot c^{-1}$]	0,94	4,95	33,3	459
b_π	$0,359 \cdot 10^{-3}$	$0,725 \cdot 10^{-3}$	$1,66 \cdot 10^{-3}$	$7,0 \cdot 10^{-3}$

При выводе формул /1/-/4/ предполагалось, что нейтринный пучок генерирован π -мезонным пучком. Но теми же формулами можно рассчитать нейтринный пучок, генерированный К-мезонным пучком. Результаты такого расчета, сделанные при предположении, что $R_{det} = 0,5$ км, $H_{det} = 1$ км, $D_{det} = 1$ г.см⁻³ и $l = 2R$, приведены в табл.3.

Таблица 3

Параметры $\langle E_k \rangle$ и N'_ν нейтринного пучка, генерированного источником нейтринного пучка при помощи распада К-мезонов; параметры детекции пучка a_k и b_k

Ускоритель Параметры	Ускоритель			
	SPS $E_p = 0,4$ ТэВ	Теватрон $E_p = 1$ ТэВ	УНК $E_p = 3$ ТэВ	20-тэвный $E_p = 20$ ТэВ
$\langle E_k \rangle$ ГэВ	31,8	61	148	600
N'_ν [$\nu \cdot c^{-1}$]	$0,598 \cdot 10^{12}$	$0,600 \cdot 10^{12}$	$0,487 \cdot 10^{12}$	$0,284 \cdot 10^{12}$
a_k [$\nu \cdot c^{-1}$]	0,058	0,48	6,2	185
b_k	$1,08 \cdot 10^{-3}$	$2,16 \cdot 10^{-3}$	$5,0 \cdot 10^{-3}$	$20,2 \cdot 10^{-3}$

Для того чтобы применить формулы компьютерной томографии, необходимо выразить I через N'_{reg} , а и б. По /4/ находим

$$I = \frac{N'_{reg} - a}{ab} \quad /8/$$

Из /8/ следует, что для получения I, а заодно и $D(x,y)$ /8/ с относительной точностью δ , необходимо измерить N'_{reg} и N'_ν с относительной точностью порядка δ . Как видно из табл.2 и 3, такая точность выходит за пределы современных технических возможностей. С другой стороны, относительная погрешность вследствие флуктуаций N'_ν равняется $\delta_\Phi = \frac{1}{\sqrt{N'_\nu t}}$, где t - длительность процесса измерения. Если сравнить δ и δ_Φ , то из данных табл.2 и 3 следует, что необходимое для измерения время t неоправданно мало. И, наконец, величина N'_{reg} намного больше необходимого минимального уровня, который определяется фоном космического излучения /10/. Поэтому система измерения, основанная на широком нейтринном пучке, оказывается дефектной. Она недостаточно чувствительна по отношению к точности и избыточна по отношению к интенсивности.

Другая особенность, которая бросается в глаза, - это то обстоятельство, что хотя при тэвных энергиях пучки из К-мезонных нейтрино менее выгодны, при 20 ТэВ наблюдается тенденция

к выравниванию качеств K и π -мезонных пучков, хотя π -мезонные пучки в общем предпочтительнее. И, наконец, еще одно важное замечание состоит в том, что требования к точности измерений N_{reg}^{ν} и N_{ν}^{ν} уменьшаются с ростом E_p .

Б/ Узкие пучки

Имея в виду сделанный выше анализ, целесообразно сразу ориентироваться на нейтринный пучок, который: а/ узок, б/ состоит из нейтрино с возможно большей энергией и в/ генерируется распадом π -мезонов. Этим требованиям отвечает меченый нейтринный пучок, предложенный Кафтановым в^{17/}, где $E_{\nu} = 4$ ТэВ, $N_{reg}^{\nu} = 10^8 [\nu \cdot c^{-1}]$ и $N_{\nu}^{\nu} = 9 [\nu \cdot c^{-1}]$. При пучке Кафтанова длина туннеля распада $L_1 = 30$ км, а в нашем случае предполагается, что $L_2 = 1,5$ км. В этом случае детектор будет иметь в мишенной секции 4000 г.см⁻², а у нас в качестве детектора будет служить установка DUMAND^{2,10/} с $R_{det} = 0,5$ км и $D_{det} = 1$ г.см⁻³, а $H_{det} = 1$ км. Имея в виду это и разницу в расчетных формулах^{17/и} в данной работе, для модифицированного пучка имеем $N_{reg}^{\nu} \approx 3,5 [\nu \cdot c^{-1}]$. Для параметра b при $\ell = 2R$ получаем $b \approx 0,10$. Поэтому, чтобы получить I и $D(x, y)$ с точностью порядка 10%, необходимо измерить N_{reg}^{ν} и N_{ν}^{ν} с точностью порядка 0,7%, которая, по-видимому, в принципе не является недостижимой, особенно для меченых нейтринных пучков. Теперь проверим, какая должна быть продолжительность измерения. Из соотношения $\frac{1}{\sqrt{N_{reg}^{\nu} \cdot t}} = 0,007$ находим $t \approx 1,54$. Отсюда видно, что мы можем работать с самостоятельным протонным пучком, который составлял бы малую часть основного протонного пучка. Интенсивность самостоятельного протонного пучка тогда будет лимитироваться только фоном космических и атмосферных нейтрино^{10/}.

§4. ВОССТАНОВЛЕНИЕ ФУНКЦИИ РАСПРЕДЕЛЕНИЯ ПЛОТНОСТИ

Полученная при помощи описанной в предыдущих параграфах измерительной системы "ускоритель DUMAND" /коротко система AD/ информация должна быть обработана на основе формул компьютерной томографии^{8/}. Ниже мы систематизируем возникающие при этом задачи. Первые две фактически идентичны соответствующим задачам рентгеновской компьютерной томографии^{8/}, а следующие имеют некоторые специфические особенности и ранее не встречались.

Задача 1. Предположим, что $D(x, y, z) = D(r)$, $r = \sqrt{x^2 + y^2 + z^2}$. Как выбрать величины $\bar{D}(P_1', P_1'')$, $\bar{D}(P_2', P_2'')$, ... с тем, чтобы на основе этой информации реконструировать функцию $D(r)$?

Это - классическая задача компьютерной томографии. Для ее решения необходимо провести одну плоскость Π через центр Земли, выбрать на s достаточное число пар точек $P_1', P_1''; P_2', P_2''; \dots$ измерить соответствующие значения $\bar{D}(P_1', P_1'')$, $\bar{D}(P_2', P_2'')$, ... и на их основе при помощи формул "рентгеновской" компьютерной томографии реконструировать $D(r)$.

Задача 2. Пусть функция $D(x, y, z)$ не обладает центральной симметрией. Как выбрать величины $\bar{D}(P_1', P_1'')$, $\bar{D}(P_2', P_2'')$, ... чтобы на основе этой информации реконструировать $D(x, y, z)$?

И в этом случае мы имеем задачу классической компьютерной томографии. Для ее решения проведем плоскости Π^I, Π^{II}, \dots через Землю с тем, чтобы соответствующие сечения $g^I + s^I, g^{\Pi} + s^{\Pi}, \dots$ "охватили" существенные части функции $D(x, y, z)$. Следующий шаг - на каждой из плоскостей, Π^I, Π^{II}, \dots выбирая

подходящие пары точек $P_1^I, P_1^{II}; \dots, P_1^{\Pi}, P_1^{\Pi}; \dots$ при помощи стандартных формул^{8/} надо восстановить соответствующие двумерные функции $D^I(x, y), D^{\Pi}(x, y), \dots$ и тем самым искомым $D(x, y, z)$. При этом надо иметь в виду, что DUMAND легче перемещается по дну океана, тогда как перемещение ускорителя очень трудно. Поэтому должно быть как можно больше точек $P_1^I \equiv P_2^I \equiv \dots \equiv P_n^I \equiv P_{n+1}^I \equiv \dots \equiv Q_1$, иначе говоря, один ускоритель в данном положении Q_1 должен обслуживать как можно больше плоскостей Π^I, Π^{II}, \dots . Другой ускоритель расположен в другой точке Q_2 земного шара и будет обслуживать другую систему плоскостей и т.д.

Если будет решено на основе системы AD изучать детально часть мантии Земли в некотором районе океана, то тогда придется перемещать одновременно и ускорить и DUMAND.

Перейдем к следующим задачам.

Пусть $D(x, y)$ - точное значение функции плотности в некотором сечении $g+s$ земного шара, а $\bar{D}(x, y)$ - ее приближенное значение. Пусть $\rho[D, \bar{D}] = \delta$, где ρ - расстояние от D до \bar{D} в смысле некоторой функциональной метрики, а δ - допустимая ошибка. Пусть $\bar{D}(P_j', P_j''); \Delta_j$, $j = 1, 2, \dots, J$ - значение \bar{D} , если измерения соответствующих значений N_{reg}^{ν} и N_{ν}^{ν} сделаны с заданными ошибками Δ_j , и пусть Z_j - затрата для получения значения $\bar{D}(P_j', P_j''); \Delta_j$. Используя эти обозначения, сформулируем следующую задачу.

Задача 3. При фиксированном δ надо выбрать число J пары точек P_j', P_j'' , $j = 1, 2, \dots, J$ и ошибки Δ_j , таким образом, чтобы суммарные затраты $\Phi_3 = \sum_{j=1}^J Z_j$ были минимальны.

В последующей задаче используется дополнительная информация о $D(x, y, z)$. Она содержится в значениях вертикального градиента V силы тяжести, который предполагается известным. Для простоты затратами на приобретение этой информации будем пре-

небрегать. Пусть $Q_k \equiv x_k, y_k, z_k \in s, k=1,2,\dots,K$ - точки на поверхности земного шара, в которых имеются данные о вертикальном градиенте V_k силы тяжести

$$V_k = \frac{\partial U(Q_k)}{\partial n} = G \frac{\partial}{\partial n} \iiint_{\text{земной шар}} \frac{D(\xi, \eta, \zeta) d\xi d\eta d\zeta}{\sqrt{(x_k - \xi)^2 + (y_k - \eta)^2 + (z_k - \zeta)^2}},$$

где G - гравитационная постоянная.

Пусть величины V_k известны с ошибками δ_k . Обозначим через V_k^* значение вертикального градиента силы тяжести в точках Q_k , полученные на основе решения задачи 3 для Π^I, Π^{II}, \dots . Далее обозначим $\sup |V_k^* - V_k|$ через δ_k^* и через S_k выражение $S_k = f(|\delta_k^* - \delta_k|)$, где f - некоторая штрафная функция с аргументом $|\delta_k^* - \delta_k|$. Тогда можно сформулировать задачу следующим образом:

Задача 4. При фиксированном δ надо выбрать числа J пары точек P_j, P_j' , ошибки $\Delta_j, j=1,2,\dots,J$ и плоскости Π^I, Π^{II}, \dots так, чтобы функционал

$$\Phi_4 = \sum_{j=1}^J Z_j + \sum_{k=1}^K S_k$$

имел минимальное значение.

§5. ЗАКЛЮЧЕНИЕ

Суммируя сказанное, отметим следующее. По-видимому, не существует причин, из-за которых предлагаемый эксперимент был бы принципиально неосуществим. Мы обсудили экспериментальную установку при предположении, что генератор нейтринного пучка - тэвный или мультитэвный ускоритель, а детектор - детектор типа DUMAND^{/2,10/}.

Но даже при этом предположении, не учитывая возможный прогресс в будущем, оказалось, что измерительный комплекс - 20-тэвный ускоритель - DUMAND в принципе пригоден для измерения распределения плотности земного шара с точностью порядка 10%. Однако надо отметить, что его осуществление выдвигает трудные проблемы технического и финансового характера, вызванные необходимостью поворота протонного пучка в вертикальное направление. Поэтому не исключено, что компромиссное решение с 3-тэвным или 1-тэвным ускорителем более предпочтительно. При таком решении трудности, связанные с поворотом протонного пучка, существенно уменьшаются. При этом, однако, повысятся в несколько раз требования к точности измерения N_{reg}^V и N_V' .

Для решения этой проблемы, вероятно, надо искать принципиально новые пути в рамках метода меченых пучков.

ЛИТЕРАТУРА

1. Davis R., Jr., Harmer D.S., Hoffman K.C. Phys.Rev.Lett., 1968, 20, p.1205.
2. Conference Proceedings Neutrino-78, ed. by E.C.Fowler. Purdue University, April 28 - May 2, 1978.
3. Недялков И.П. Докл. БАН, 1980, 33, кн.10.
4. Nedelkov I.P. In: Seventh Annual Meeting European Geophysical Society. 24-29 August, 1980. Programme and Abstracts. Budapest, 1980.
5. Недялков И.П. Изв. вузов. Техническая физика, 1980, 15, кн.2.
6. Недялков И.П. Докл. БАН /в печати/.
7. Гельфанд И.М., Гиндикин С.Г., Шапиро З.Я. Функциональный анализ и его приложения, 1979, 13, вып.2.
8. Kak A.C. Proc. IEEE, 1979, 68, No.9.
9. Kleinknecht K. In: Proc. of the 1978 CERN School of Physics. Geneva, 1978.
10. Березинский В.С., Зацепин Г.Т. УФН, 1977, 122, вып.1.
11. Гришин В.Г. УФН, 1979, 127, №1.
12. Лиходед А.К., Шляпников П.В. УФН, 1978, 124, №1.
13. Барашенков В.С., Елисеев С.М. ОИЯИ, P2-5331, Дубна, 1970.
14. DAEDALUS Study Group. Project Daedalus. Space Flight, 1977, 19, No.12.
15. Goldwasser E.L. In: Proc. 19th Conf. High Energy Physics, Tokyo, 1978.
16. Proc. of the Second ICFA Workshop on Possibilities and Limitations of Accelerators and Detectors. Les Diablerets, Switzerland 4-10 October, 1979. Ugo Amaldi ed., CERN.
17. Kaftanov V. - see^{/18/}.

Рукопись поступила в издательский отдел
27 апреля 1981 года.